

Starkniederschlagshöhen und -spenden gemäß KOSTRA-DWD-2010R

Auswertungszeitraum von 1951 - 2010, Januar - Dezember

Rasterfeld: 77025

Zeile: 77

Spalte: 25

Seite: 1/2

| Dauerstufe D | Wiederkehrzeit T | | | | | | | | | | | | | | | | | | |
|--------------|------------------|------|------------|------|------------|------|------------|------|------------|------|------------|------|------------|------|------------|------|------------|-------|------------|
| | 1 a | | 2 a | | 3 a | | 5 a | | 10 a | | 20 a | | 30 a | | 50 a | | 100 a | | |
| min | Std | mm | l / (s ha) | mm | l / (s ha) | mm | l / (s ha) | mm | l / (s ha) | mm | l / (s ha) | mm | l / (s ha) | mm | l / (s ha) | mm | l / (s ha) | mm | l / (s ha) |
| 5 | | 5,3 | 176,7 | 7,0 | 233,3 | 8,0 | 266,7 | 9,2 | 306,7 | 10,9 | 363,3 | 12,6 | 420,0 | 13,6 | 453,3 | 14,8 | 493,3 | 16,5 | 550,0 |
| 10 | | 8,4 | 140,0 | 10,8 | 180,0 | 12,2 | 203,3 | 14,0 | 233,3 | 16,4 | 273,3 | 18,8 | 313,3 | 20,2 | 336,7 | 22,0 | 366,7 | 24,4 | 406,7 |
| 15 | | 10,4 | 115,6 | 13,4 | 148,9 | 15,1 | 167,8 | 17,3 | 192,2 | 20,2 | 224,4 | 23,2 | 257,8 | 24,9 | 276,7 | 27,1 | 301,1 | 30,1 | 334,4 |
| 20 | | 11,8 | 98,3 | 15,3 | 127,5 | 17,3 | 144,2 | 19,8 | 165,0 | 23,2 | 193,3 | 26,7 | 222,5 | 28,7 | 239,2 | 31,2 | 260,0 | 34,7 | 289,2 |
| 30 | | 13,8 | 76,7 | 18,0 | 100,0 | 20,4 | 113,3 | 23,6 | 131,1 | 27,8 | 154,4 | 32,0 | 177,8 | 34,5 | 191,7 | 37,6 | 208,9 | 41,8 | 232,2 |
| 45 | | 15,4 | 57,0 | 20,6 | 76,3 | 23,6 | 87,4 | 27,5 | 101,9 | 32,6 | 120,7 | 37,8 | 140,0 | 40,9 | 151,5 | 44,7 | 165,6 | 49,9 | 184,8 |
| 60 | | 16,4 | 45,6 | 22,4 | 62,2 | 25,9 | 71,9 | 30,3 | 84,2 | 36,3 | 100,8 | 42,4 | 117,8 | 45,9 | 127,5 | 50,3 | 139,7 | 56,3 | 156,4 |
| 90 | | 18,0 | 33,3 | 24,2 | 44,8 | 27,8 | 51,5 | 32,3 | 59,8 | 38,5 | 71,3 | 44,6 | 82,6 | 48,2 | 89,3 | 52,8 | 97,8 | 58,9 | 109,1 |
| 120 | 2 | 19,3 | 26,8 | 25,5 | 35,4 | 29,2 | 40,6 | 33,8 | 46,9 | 40,1 | 55,7 | 46,3 | 64,3 | 50,0 | 69,4 | 54,6 | 75,8 | 60,9 | 84,6 |
| 180 | 3 | 21,2 | 19,6 | 27,6 | 25,6 | 31,3 | 29,0 | 36,1 | 33,4 | 42,5 | 39,4 | 48,9 | 45,3 | 52,7 | 48,8 | 57,4 | 53,1 | 63,9 | 59,2 |
| 240 | 4 | 22,6 | 15,7 | 29,2 | 20,3 | 33,0 | 22,9 | 37,8 | 26,3 | 44,4 | 30,8 | 50,9 | 35,3 | 54,7 | 38,0 | 59,5 | 41,3 | 66,1 | 45,9 |
| 360 | 6 | 24,9 | 11,5 | 31,6 | 14,6 | 35,5 | 16,4 | 40,4 | 18,7 | 47,1 | 21,8 | 53,8 | 24,9 | 57,8 | 26,8 | 62,7 | 29,0 | 69,4 | 32,1 |
| 540 | 9 | 27,3 | 8,4 | 34,2 | 10,6 | 38,2 | 11,8 | 43,3 | 13,4 | 50,1 | 15,5 | 57,0 | 17,6 | 61,0 | 18,8 | 66,1 | 20,4 | 73,0 | 22,5 |
| 720 | 12 | 29,2 | 6,8 | 36,2 | 8,4 | 40,3 | 9,3 | 45,4 | 10,5 | 52,4 | 12,1 | 59,4 | 13,8 | 63,5 | 14,7 | 68,7 | 15,9 | 75,7 | 17,5 |
| 1080 | 18 | 32,1 | 5,0 | 39,3 | 6,1 | 43,5 | 6,7 | 48,7 | 7,5 | 55,9 | 8,6 | 63,1 | 9,7 | 67,3 | 10,4 | 72,6 | 11,2 | 79,7 | 12,3 |
| 1440 | 24 | 34,3 | 4,0 | 41,6 | 4,8 | 45,9 | 5,3 | 51,3 | 5,9 | 58,5 | 6,8 | 65,8 | 7,6 | 70,1 | 8,1 | 75,5 | 8,7 | 82,8 | 9,6 |
| 2880 | 48 | 45,2 | 2,6 | 53,1 | 3,1 | 57,8 | 3,3 | 63,6 | 3,7 | 71,5 | 4,1 | 79,4 | 4,6 | 84,1 | 4,9 | 89,9 | 5,2 | 97,9 | 5,7 |
| 4320 | 72 | 53,1 | 2,0 | 61,4 | 2,4 | 66,2 | 2,6 | 72,4 | 2,8 | 80,7 | 3,1 | 88,9 | 3,4 | 93,8 | 3,6 | 99,9 | 3,9 | 108,2 | 4,2 |

Angaben in mm: Bemessungsniederschlagswerte h(n)

Angaben in l / (s ha): Regenspende R(n) mit $R(n) = h(n) \times 1,666667 / D[\text{min}]$

Toleranzbereiche:

+/- 10 % für $1 \text{ a} \leq T \leq 5 \text{ a}$

+/- 15 % für $5 \text{ a} < T \leq 50 \text{ a}$

+/- 20 % für $50 \text{ a} < T \leq 100 \text{ a}$

Datenbasis: KOSTRA-DWD-2010R des Deutschen Wetterdienstes. Die Regenspende wurde auf Basis des Bemessungsniederschlags zur jeweiligen Andauer berechnet.

Für die Richtigkeit und Aktualität der Angaben wird keine Gewähr übernommen. Erstellt 07/2022.

Starkniederschlagshöhen und -spenden gemäß KOSTRA-DWD-2010R

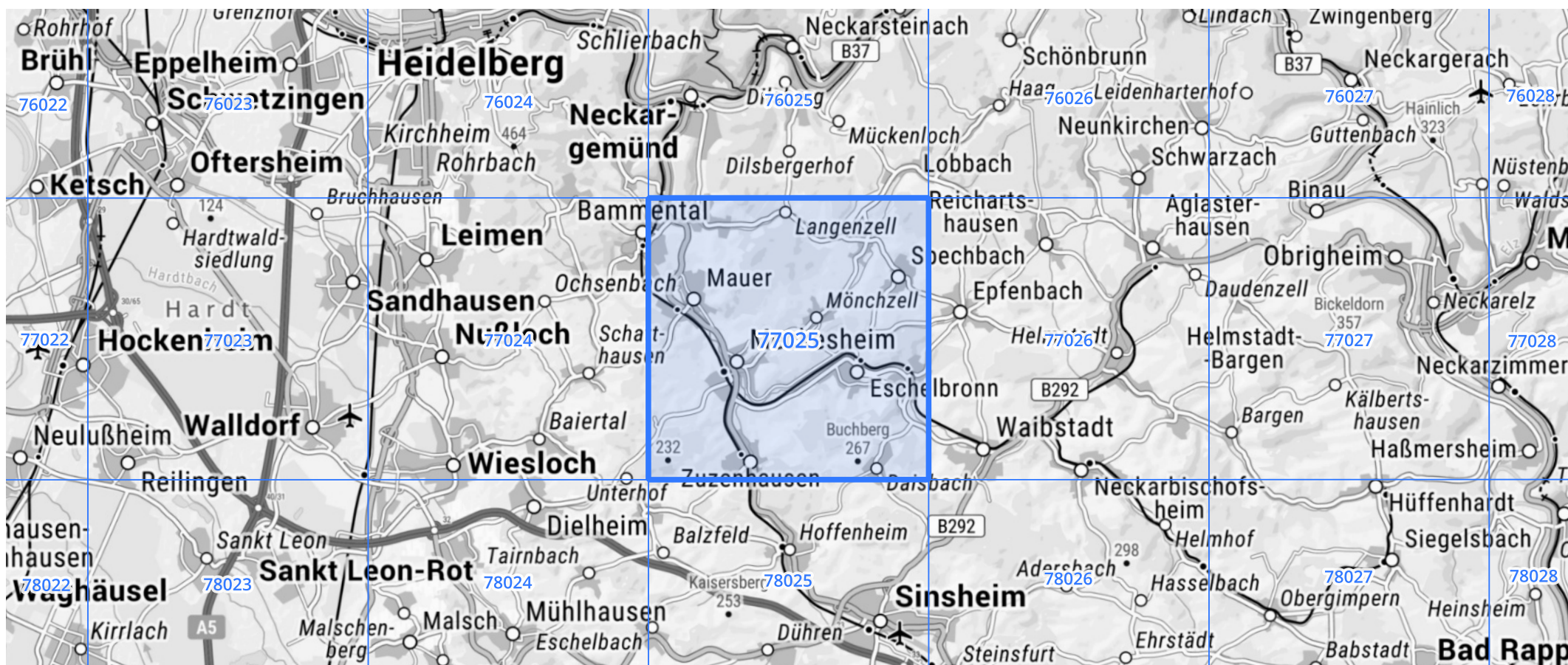
Auswertungszeitraum von 1951 - 2010, Januar - Dezember

Rasterfeld: 77025

Zeile: 77

Spalte: 25

Seite: 2/2



Quelle Rasterdaten: KOSTRA-DWD-2010R des Deutschen Wetterdienstes.

Kartendarstellung: © Bundesamt für Kartographie und Geodäsie (2022), Datenquellen: https://sgx.geodatenzentrum.de/web_public/gdz/datenquellen/Datenquellen_TopPlusOpen.html

Für die Richtigkeit und Aktualität der Angaben wird keine Gewähr übernommen. Erstellt 07/2022.